



AIRELLES ENVIRONNEMENT

Evaluation des distances d'effets (site d'ETRECHET)

Historique des révisions				
VERSION	DATE	COMMENTAIRES	Rédigé par	Vérifié par
A	Février 2023	Création de document	M. VACHON	Y. SERAL

Client : AIRELLES Environnement
Objet : Evaluation des distances d'effets (site d'ETRECHET)

Référence document : N2201759-251-DE001-A
En date du : 01/02/2023

Approuvé par	VACHON Marc	Chef de projet Maîtrise des Risques Industriels	
Vérifié par	SERAL Yann	Chargé d'affaires confirmé Maîtrise des Risques Industriels	
Rédigé par	VACHON Marc	Chef de projet Maîtrise des Risques Industriels	
	Nom et Prénom	Fonction	Visa

Table des matières

1.	CONTEXTE ET OBJET DU DOCUMENT	4
2.	DOCUMENTS DE REFERENCE	5
3.	DONNEES	6
4.	CONDITIONS DE DISPERSION	8
5.	CARACTERISATION DU FOYER - CELLULE DE STOCKAGE 2662	9
5.1.	Caractérisation de la molécule équivalente	9
5.2.	Réaction de combustion.....	10
5.3.	Caractéristiques du foyer	10
5.4.	Seuils d'effets toxiques des fumées.....	11
6.	RESULTATS	13
6.1.	Dispersion toxique.....	13
6.2.	Réduction de la visibilité.....	13
7.	ANNEXE : DESCRIPTION DE LA METHODE DE CALCUL MISE EN ŒUVRE	15
7.1.	Spécification du terme source.....	15
7.2.	Opacification locale de l'atmosphère	17

1. CONTEXTE ET OBJET DU DOCUMENT

AIRELLES ENVIRONNEMENT établit un dossier réglementaire pour un entrepôt en projet sur la commune d'ETRECHET (36). Dans un premier temps cet entrepôt comportera 12 cellules de stockage dont :

- 8 cellules de 12 000 m²,
- 2 cellules de 6 000 m² dont la surface pourra être étendue à 12 000 m²,
- 2 cellules de 2 000 m² avec possibilité d'extension.

Dans ce cadre, AIRELLES ENVIRONNEMENT a sollicité Naldéo technologies et Industries (NTI) afin d'évaluer les effets toxiques ainsi que les effets de réduction de la visibilité associés à la dispersion des fumées en cas d'incendie sur une cellule de 12 000 m² stockant des polymères (rubrique 2662).

Le présent document constitue le rapport établi par NTI à l'issue des travaux.

2. DOCUMENTS DE REFERENCE

[DR.01]	Courriels AIRELLES ENVIRONNEMENT du 18 janvier 2023	-
[DR.02]	SFPE Handbook of Fire Protection Engineering	NFPA, 2 nd Edition (1995)
[DR.03]	Circulaire du 10 mai 2010 récapitulant les règles méthodologiques applicables aux études de dangers, à l'appréciation de la démarche de réduction du risque à la source et aux plans de prévention des risques technologiques (PPRT) dans les installations classées en application de la loi du 30 juillet 2003	NOR : DEVP1013761C
[DR.04]	INERIS Recensement des substances toxiques (ayant un impact potentiel à court, moyen et long terme) susceptibles d'être émises par un incendie	Rapport 203887 – 2079442 v 3.0 (11/07/2022)
[DR.05]	Arrêté du 29 septembre 2005 relatif à l'évaluation et à la prise en compte de la probabilité d'occurrence, de la cinétique, de l'intensité des effets et de la gravité des conséquences des accidents potentiels dans les études de dangers des installations classées soumises à autorisation	DEVP0540371A
[DR.06]	INERIS – Formalisation du savoir et des outils dans le domaine des risques majeurs (DRA-35) : Toxicité et dispersion des fumées d'incendie, Phénoménologie et modélisation des effets	DRA35-Ω16 (17/03/2005)

3. DONNEES

Le plan de masse de l'entrepôt est reporté figure 1 ci-dessous [DR.01].

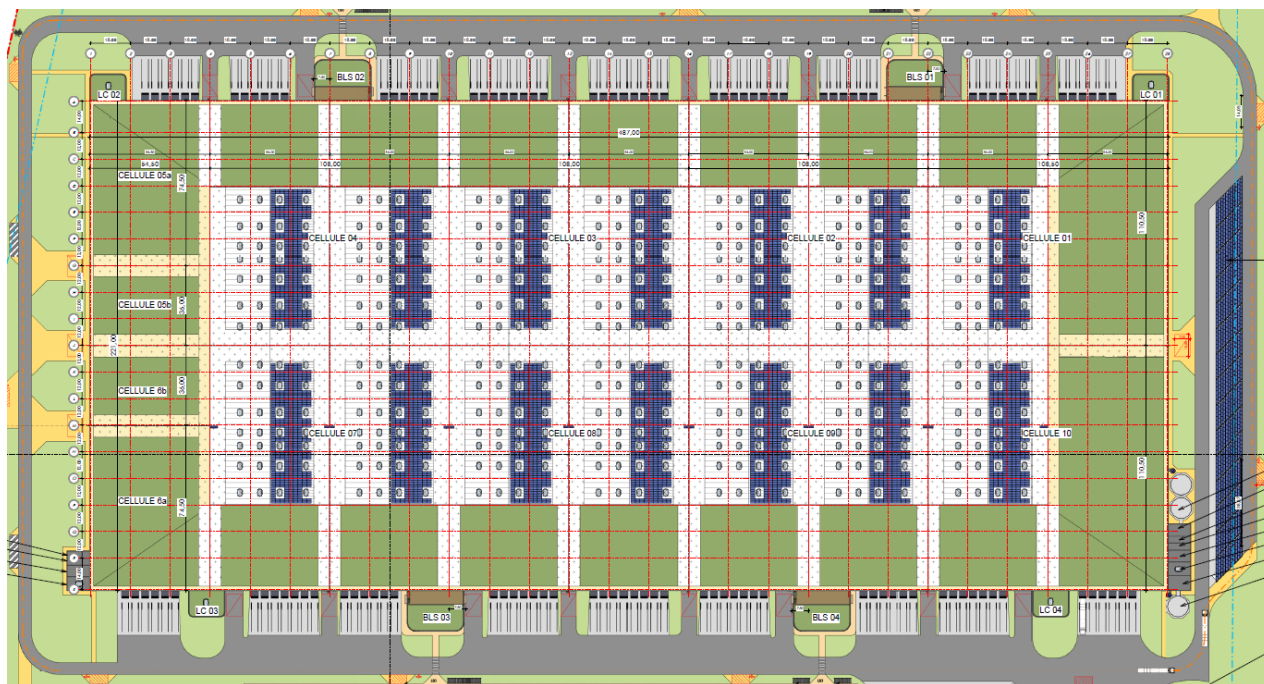


Figure 1 : Plan de masse de l'entrepôt

Les calculs sont effectués pour une cellule de 12 000 m² dont les caractéristiques sont les suivantes :

	Cellule 12 000 m ²
Longueur	110,5 m
Largeur	108,5 m
Hauteur des murs	13,7 m

Tableau 1 : Caractéristiques de la cellule étudiée

Pour la réalisation des calculs il a été supposé la répartition massique suivante représentative des produits stockés :

- 30% bois / papier / carton assimilés à de la cellulose,
- 15% PVC,
- 15% mousse de polyuréthane,
- 5% PET,
- 35% PP.

4. CONDITIONS DE DISPERSION

Les conditions atmosphériques retenues pour les modélisations sont définies par la circulaire du 10 mai 2010 [DR.03].

Dans la grande majorité des cas, les conditions dites 3F (représentatives des conditions nocturnes) et 5D (représentatives des conditions diurnes), sont considérées. Les caractéristiques de ces conditions sont détaillées dans le tableau ci-dessous :

	Conditions 3F	Conditions 5D
Classe de stabilité	F (stable)	D (neutre)
Vitesse du vent	3 m/s	5 m/s
Température ambiante	15°C	20°C
Température du sol	15°C	20°C
Humidité relative de l'air	70%	70%

Tableau 2 : Détails des conditions atmosphériques 3F et 5D

Dans le cas d'un rejet vertical ou d'un rejet de gaz léger ou d'un rejet en altitude ayant pour conséquence une dispersion toxique, les conditions atmosphériques suivantes sont prises en compte, selon la circulaire du 10 mai 2010 :

Stabilité atmosphérique (classes de Pasquill)	Vitesse de vent
A	3
B	3 et 5
C	5 et 10
D	5 et 10
E	3
F	3

Tableau 3 : Détails des conditions atmosphériques à utiliser pour un rejet vertical ou un rejet de gaz léger ou un rejet en altitude

Dans les cas envisagés (rejet vertical de gaz légers), les neuf conditions de dispersion sont retenues.

La température de l'atmosphère et du sol peut être fixée à 20°C pour les conditions de stabilité atmosphérique comprises entre A et E et à 15°C pour la condition de stabilité atmosphérique F. L'humidité relative est prise égale à 70%.

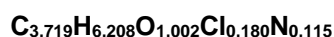
La hauteur des rugosités au sol est fixée à 950 mm, valeur pénalisante du point de vue de la dispersion au voisinage de l'entrepôt (une importante hauteur de rugosité contribue à augmenter la hauteur de la couche limite atmosphérique, réduire la vitesse à proximité du sol et par conséquent diminuer l'influence des effets de dilution).

5. CARACTERISATION DU FOYER - CELLULE DE STOCKAGE 2662

La méthode mise en œuvre pour reconstituer le terme source incendie est détaillée en annexe.

5.1. Caractérisation de la molécule équivalente

Sur la base de la répartition massique indiquée au chapitre 3, la formule brute déterminée pour la molécule équivalente est la suivante :



Les taux de combustion des différents composés sont évalués à partir des données figurant dans la référence [DR.02] :

Composé	Taux de combustion (g/m ² /s)
Bois / Papiers / Carton	14
Polychlorure de vinyle (PVC)	6
Polyuréthane (PU)	29
Polyéthylène téréphtalate (PET)	20
Polypropylène (PP)	18

Tableau 4 : Taux de combustion des différents constituants

Le taux de combustion moyen, compte tenu de la répartition massique, est évalué à 16,8 g/m²/s.

Pour ce qui concerne la chaleur de combustion, l'application des formules de Boie et de Dulong à la molécule moyenne conduit à retenir une valeur de 26,6 MJ/kg.

Enfin, compte tenu des facteurs d'émission de chaque produit (voir annexe), les facteurs d'émission calculés pour le mélange sont les suivants :

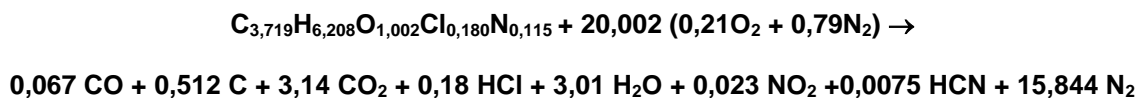
Facteur d'émission CO (g/kg)	Facteur d'émission particules assimilées au carbone (g/kg)	Facteur d'émission NO ₂ (g/kg)	Facteur d'émission HCN (g/kg)	Facteur d'émission HCl (g/kg)
25,05	82,2	13,8	0,27	48

Tableau 5 : Facteurs d'émission associés aux différents produits

Pour ce qui concerne le chlorure d'hydrogène, la totalité du chlore est supposée transformée en HCl afin de respecter le bilan atomique (le facteur d'émission n'est pas pris en compte).

5.2. Réaction de combustion

La réaction de combustion incomplète de la molécule équivalente dans l'air prend la forme :



Le besoin massique en air de combustion vaut $s = 7,696$ kg air / kg combustible.

La chaleur de combustion effective est d'environ 21,8 MJ/kg. Cela conduit à une efficacité de combustion (ratio entre la chaleur de combustion effective et la chaleur de combustion complète évaluée à 26,6 MJ/kg) de 0,82, ordre de grandeur usuel pour la plupart des combustibles solides.

La fraction d'énergie convectée χ_{conv} (énergie utilisée pour chauffer les gaz et les mettre en vitesse, voir annexe) est évaluée à 0,574 sur la base des caractéristiques des produits constituant le mélange. La fraction d'énergie rayonnée vers l'extérieur (complément de la fraction d'énergie convectée) vaut 0,426. Cette valeur est légèrement supérieure aux valeurs usuelles qui vont de 0,35 à 0,4 [DR02]. Ceci est dû à la présence de PVC et de mousse polyuréthane qui présentent des fractions de puissance rayonnée importantes.

5.3. Caractéristiques du foyer

L'évolution de puissance du feu en fonction du temps telle que calculée à l'aide du logiciel FLUMILOG® prend la forme suivante :

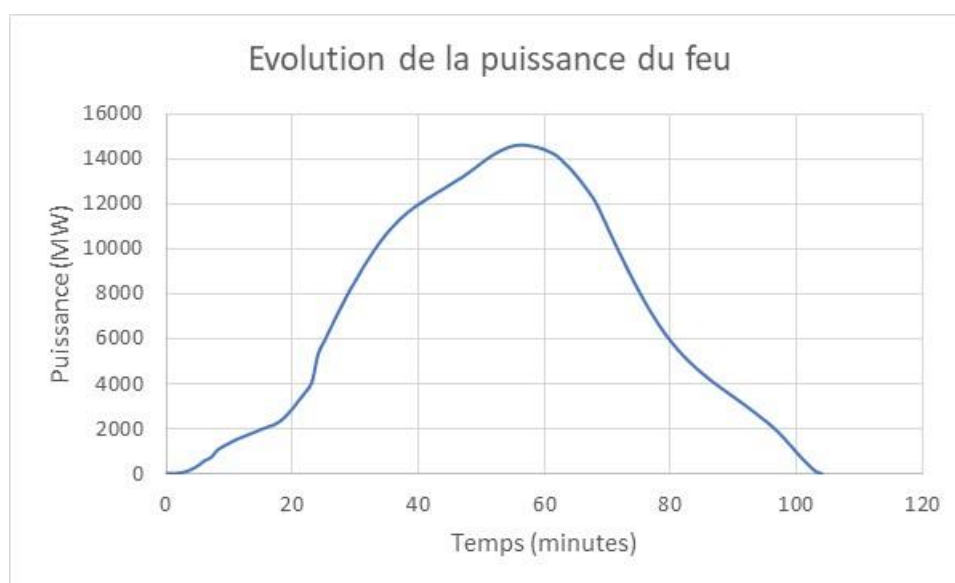


Figure 2 : Puissance du feu

Selon la méthode de calcul décrite en annexe, les caractéristiques du foyer déduites de cette courbe de puissance sont les suivantes :

- Hauteur d'émission comptée depuis le sol (hauteur de toiture prise en compte) : 80,2 m,
- Débit de produits de combustion : 1 751,7 kg/s,
- Débit total de fumées à hauteur d'émission : 22 144,9 kg/s,
- Débit d'air entraîné à hauteur d'émission : 20 393,2 kg/s,
- Température moyenne des gaz : 269°C,
- Vitesse ascensionnelle moyenne 15,8 m/s.

La composition des fumées (en % mol.) à hauteur d'émission, compte tenu de l'air entraîné, est la suivante :

Produit	% molaire
CO	0,0234
C	0,1790
CO ₂	1,0978
H ₂ O	1,0524
HCN	0,0026
NO ₂	0,0080
HCl	0,0629
N ₂	78,5036
O ₂	19,0702

Tableau 6 Composition des fumées

La fraction massique de particules dans les fumées y_p vaut $7,46 \cdot 10^{-4}$.

5.4. Seuils d'effets toxiques des fumées

Conformément à l'arrêté du 29 septembre 2005 [DR05] et à la fiche 1.1.11 de la circulaire du 10 mai 2010 [DR03], la durée d'exposition retenue est de 60 minutes.

Les seuils d'effet des principaux toxiques émis pour une durée d'exposition de 60 minutes sont récapitulés ci-après.

Les effets toxiques sont combinés suivant la loi d'additivité mentionnée par l'INERIS dans son ouvrage référencé OMEGA 16 [DR.06]. Le seuil équivalent noté $Seuil_{\text{équivalent}}$ d'effet toxique est calculé selon la formule suivante :

$$\frac{1}{Seuil_{equivalent}} = \sum \frac{X_i}{Seuil_i}$$

avec :

X_i : fraction molaire du polluant identifié

$Seuil_i$: seuil d'effet du polluant i suivant le tableau 2 présenté ci-dessous.

Les seuils sont ramenés au mélange de gaz constituant les fumées.

Les seuils d'effets toxiques [DR.05] sont les suivants pour le mélange de fumées.

Composé toxique	NO ₂	CO	HCN	HCl	Fumées
Fraction molaire dans les fumées	8,04E-05	2,34E-04	2,62E-05	6,29E-04	/
Seuil des effets irréversibles sur une heure (ppm)	40	800	4,6	40	42 128
Seuil des premiers effets létaux sur une heure (ppm)	70	3 200	41	240	223 026
Seuil des effets létaux significatifs sur une heure (ppm)	73	3 200	63	379	307 549

Tableau 7 : Seuils d'effets toxiques cellule 2662

6. RESULTATS

Les calculs sont effectués à l'aide du logiciel PHAST® version 8.23.

6.1. Dispersion toxique

Aucun effet au sol n'est atteint comme le montre la figure ci-dessous (seuil des effets irréversibles dans les différentes conditions atmosphériques).

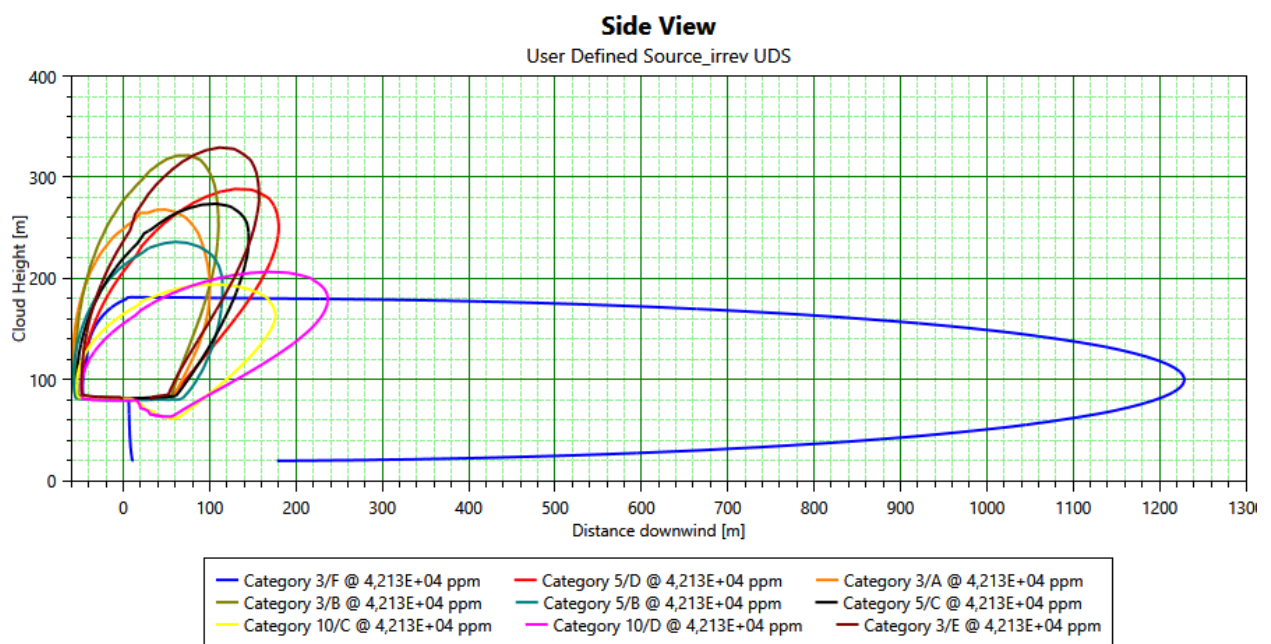


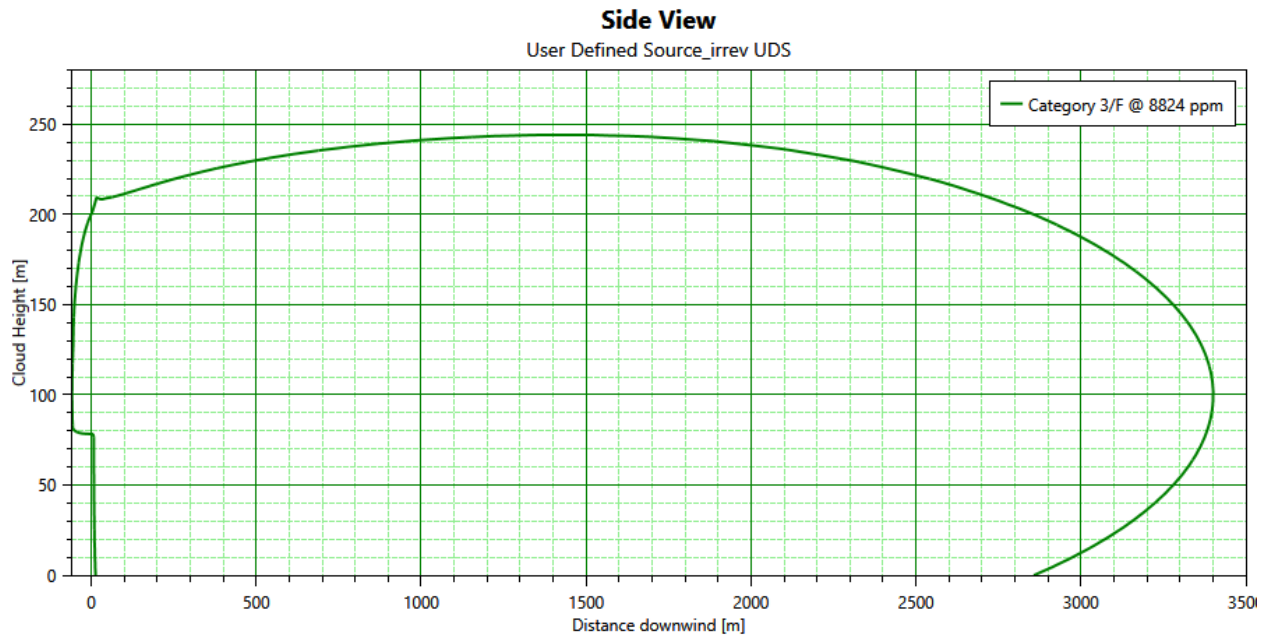
Figure 3 : Panache effets irréversibles

L'altitude minimale à laquelle les effets irréversibles sont atteints est de 20 m en conditions 3F, entre 20 et 600 m des bords de la cellule.

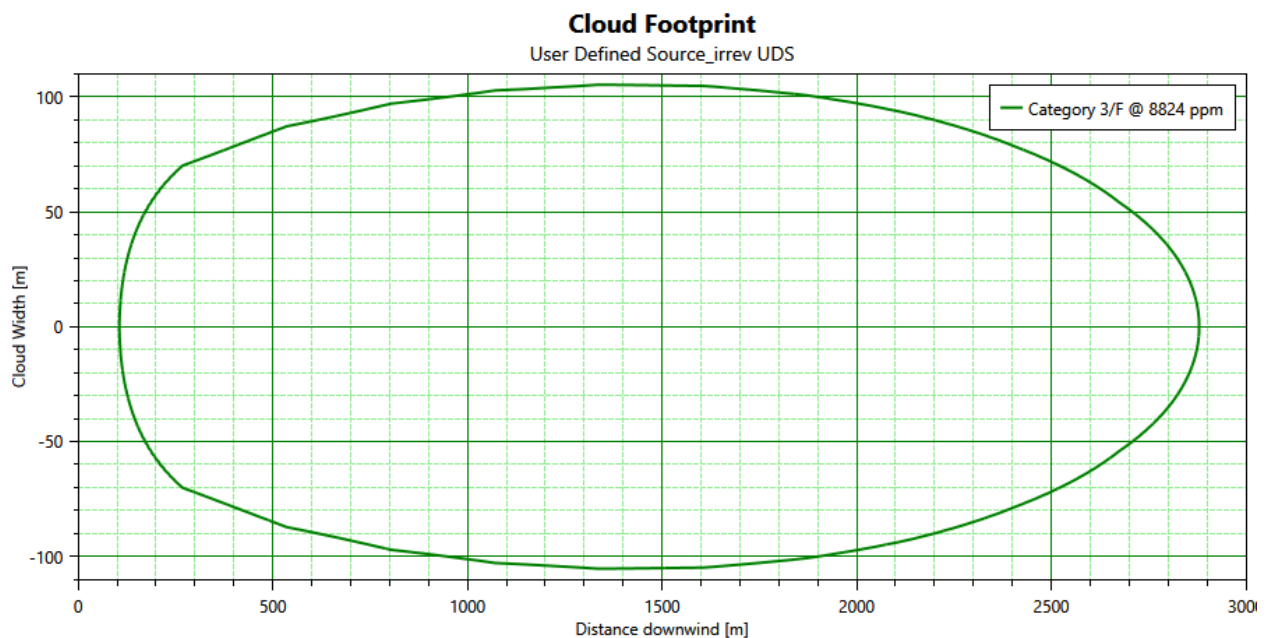
6.2. Réduction de la visibilité

La concentration en fumées amenant à une réduction de la visibilité de 50 m (panache de fumées noires) est de 8 824 ppm, compte tenu de la fraction massique de particules dans les fumées (pour mémoire, sur autoroute, une bande d'arrêt d'urgence est constituée de traits de 39 m séparés par des intervalles de 13 m. Une réduction de visibilité à 50 m équivaut à un trait et un intervalle).

La figure ci-dessous présente l'allure du panache à ce niveau de concentration dans les conditions 3F (les plus pénalisantes).



Vue de côté



Vue de dessus à 1,5 m de haut

Figure 4 : Panache fumées noires

La réduction de visibilité pourrait être importante sur plusieurs kilomètres (entre 200 m et 2 700 m).

7. ANNEXE : DESCRIPTION DE LA METHODE DE CALCUL MISE EN ŒUVRE

7.1. Spécification du terme source

La méthode d'établissement du terme source décrite ci-après est tirée de la référence [DR.04]. Elle est applicable à la caractérisation de l'incendie dans un bâtiment avec perte de la toiture.

Composition des fumées hors entraînement d'air

Les espèces présentes majoritairement dans les fumées sont le dioxyde de carbone, la vapeur d'eau et l'azote. Une combustion dans le cadre d'un incendie n'est cependant jamais complète : du monoxyde de carbone (CO) ainsi que des particules (assimilées au carbone pur C) peuvent être émis par une combustion incomplète. En outre, en fonction de la composition chimique des espèces, divers produits toxiques peuvent se trouver émis :

- Du cyanure d'hydrogène (HCN),
- Du dioxyde d'azote (NO₂),
- Du chlorure d'hydrogène (HCl),
- Du dioxyde de soufre (SO₂).

Le SFPE Handbook of Fire Protection Engineering [DR02] ainsi que le rapport de l'INERIS référencé [DR.04] fournissent des facteurs d'émission (en grammes par kilo de produit brûlé) pour différents produits combustibles. Dans la situation envisagée, les facteurs d'émission retenus sont les suivants pour chacune des espèces constituant le mélange (voir chapitre 3) :

	Facteur d'émission CO (g/kg)	Facteur d'émission particules assimilées au carbone (g/kg)	Facteur d'émission NO ₂ (g/kg)	Facteur d'émission HCN (g/kg)	Facteur d'émission HCl (g/kg)
Cellulose	4	15	0,48	0	0
PVC	65	72	0,6	0	320
Mousse PU	30	188	92	1,8	0
PET	24	60	2	0	0
PP	24	59	0	0	0

Tableau 8 : Facteurs d'émission associés aux différents produits

Les facteurs d'émission pour le mélange sont évalués au prorata de la fraction massique de chacun des constituants.

Ces éléments, en complément des bilans atomiques, permettent d'écrire la réaction de combustion supposée instantanée à proximité de la source.

Débit de combustion

Le débit de combustion est tel que :

$$\dot{m} = \dot{m}'' A$$

\dot{m}'' : taux de combustion (kg/s/m²)

A : surface en feu (m²)

Le taux de combustion du mélange est évalué au prorata de la fraction massique de chacun des constituants.

Débit de produits de combustion

Le débit de produits de combustion est donné par :

$$\dot{m}_p = (1 + s) \dot{m}$$

s désignant le besoin massique en air de combustion (kg air par kg de produit) déduit de la réaction.

Puissance du feu

L'évolution de la puissance du feu \dot{Q} (en kW) en fonction du temps est tirée des résultats de FLUMILOG®.

Chaleur convectée

L'évolution de la chaleur convectée (chaleur non dissipée par rayonnement et servant à chauffer les gaz et les mettre en vitesse) \dot{Q}_c (kW) est évaluée, connaissant \dot{Q} , à l'aide de la relation :

$$\dot{Q}_c = \chi_{\text{conv}} \dot{Q}$$

χ_{conv} désignant la fraction convectée moyenne (-)

ΔH_{ch} : chaleur de combustion effective tenant compte de l'efficacité de combustion (kJ)

Les fractions d'énergie convectée sont disponibles dans le SFPE Handbook of Fire Protection Engineering [DR02].

Hauteur d'émission des fumées

La hauteur d'émission des fumées z_1 (m) est calculée par :

$$z_1 = z_0 + 0,166 \dot{Q}_c^{2/5}$$

z_0 désigne l'origine virtuelle du panache. Pour des stockages en entrepôt il est conseillé [DR.04] de prendre $z_0 = 0$, l'origine de l'axe z étant fixée à hauteur de toit.

Débit total des fumées

Le débit total de fumées \dot{m}_f (kg/s), correspondant à la somme du débit de produits de combustion et du débit d'air entraîné à la hauteur z_1 , est donné par :

$$\dot{m}_f = 0,071 \dot{Q}_c^{1/3} (z_1 - z_0)^{5/3} (1 + 0,026 \dot{Q}_c^{2/3} (z_1 - z_0)^{-5/3})$$

Connaissant le débit total de fumées et le débit de produits de combustion, le débit d'air entraîné peut être déduit par différence et la composition des fumées à hauteur d'émission est évaluée par bilan massique.

Température moyenne à hauteur d'émission

La température moyenne T_f des fumées (°C ou K) est donnée par :

$$T_f = T_\infty + 24,94 (\dot{Q}_c)^{2/3} (z_1 - z_0)^{-5/3} / 2$$

Avec $T_\infty = 20^\circ\text{C}$

Vitesse ascensionnelle

En notant $\Delta T_f = T_f - T_\infty$, la vitesse ascensionnelle à hauteur d'émission est telle que :

$$U = 0,54 (\Delta T_f \dot{Q}_c)^{1/5} / 2$$

Terme source

Les valeurs :

- De hauteur d'émission,
- De débit de fumées,
- De température des fumées,
- De vitesse ascensionnelle,

correspondent aux valeurs moyennes sur la durée du feu.

Les fumées sont supposées émises en direction verticale.

7.2. Opacification locale de l'atmosphère

En cas d'incendie de grande ampleur, il existe des risques d'accident liés à une réduction de la visibilité à proximité.

Calcul de la concentration en fumées à distance du foyer

Sur la base de la réaction de combustion préalablement établie, la concentration volumique χ (m^3/m^3) des fumées (mélange de gaz de combustion et d'air entraîné) aux points considérés est calculée à l'aide du logiciel PHAST®. Le terme source à imposer est évalué selon la méthode décrite au paragraphe 7.1.

Calcul de la concentration en particules à distance du foyer

La concentration C en particules (en kg/m^3) aux points considérés est obtenue par application de la relation :

$$C = \rho_{\text{air}} \chi y_p$$

La fraction massique y_p de particules dans les fumées est calculée à hauteur d'émission.

ρ_{air} désignant la masse volumique de l'air à température ambiante ($1,2 \text{ kg}/\text{m}^3$). L'hypothèse de fumées à température proche de l'ambiante suppose une importante dilution par l'air, ce qui est en général effectivement vérifié à plusieurs dizaines de mètres du foyer.

Calcul du coefficient d'atténuation

Le coefficient d'atténuation des fumées K (en m-1) est donné par (SFPE Handbook [DR02]) :

$$K = 7\,600\ C$$

Distance de visibilité

Pour des objets réfléchissant la lumière, la distance de visibilité (en m) vaut :

$$S = 3 / K$$

Plus la distance de visibilité est importante, moins l'atmosphère est obscurcie par les fumées.